

全球を観測している。搭載しているセンサーの受信周波数は23.8GHz、31.4GHzの2周波で、1画素はそれぞれ地表面上で $29.0 \times 29.7\text{ km}$ 、 $21.2 \times 22.2\text{ km}$ である。本研究に用いるMOS-1 MSRのデータは、1990年9月17日11時05分(Pass27)周波数23.8GHz、10msec積分時間(Band1)のデータである。レーダとの対応を見るために、沖縄上空を通過しているものを抽出した。MSR画像の位置決定は、データがメルカトル座標で入力されていることと、MSRデータに含まれるチックマークデータに基づいて行った。

(2) 八重岳レーダ

検証用データとして、1990年9月17日午前11時の1時間平均をとった沖縄地建八重岳レーダデータを用いた。観測半径は198km、データメッシュは緯度経度方向に $3\text{ km} \times 3\text{ km}$ に変換したものである。

4. 解析結果

図3は、八重岳レーダデータによる降雨分布図である。図中、沖縄東岸海洋上には台風19号の発達に伴う強い降雨域が、また、台風の吹き出し(台風の足)に対応する降雨域が、それぞれ明確に捉えられている。これは午前11:00頃沖縄東海岸を通過した事実(1991気象年鑑)と合致している。

図4はMSRデータにアンテナパターン補正²⁾を加え輝度温度にしたものに、Willheit & Changのモデル、式(1)・(2)によって推定降雨量を求めたものである。図4-(a)、(b)は、それぞれFreezing Levelが3km、4kmの時の推定降雨分布である。レーダとの比較のため、沖縄付近のデータを抽出した。図中の円が、レーダの観測範囲を示し、その中央の三角形が八重岳のレーダサイトを示す。

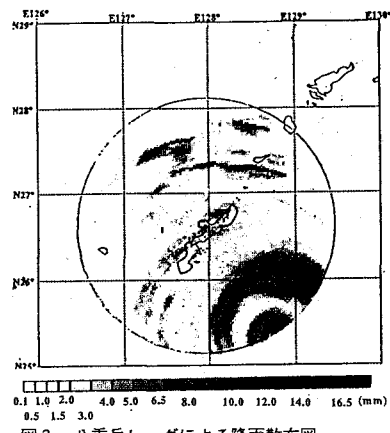
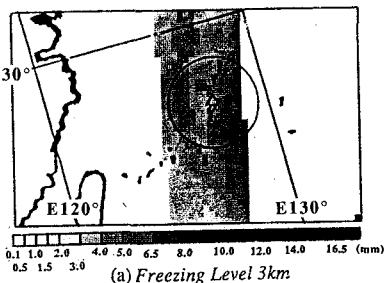


図3. 八重岳レーダによる降雨散布図
1990.9.17.AM11:00

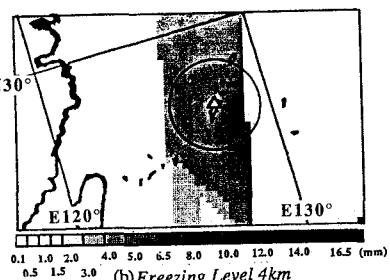
MOS-1 MSRデータからの推定降雨分布図は、レーダ観測に現れた、台風中心付近の沖縄東海岸の強い降雨域、沖縄西海岸の台風の吹き出しによる降雨分布、いずれもも明確に捉えられている。したがって、降雨分布や降雨の移動を定性的に知るには、かなり有効な手段と言える。

次に、レーダによる雨量とマイクロ波からの推定雨量を比較する。八重岳レーダによる雨量は台風の中心では、局部的に20mm以上の強い降雨域も認められ、周辺では平均して5mm前後の降雨がある。また、沖縄西海岸にみられる分布は5mm前後の値を示している。MSRによる推定降雨量は、Freezing Levelが3kmの時、台風の中心の最も強いところでは10mm、その周辺では5~10mm、西海岸では7mm前後になっている。この定量的対応は、この付近でMSRの空間平均スケールが $29.0 \times 29.7\text{ km}$ であること等を考慮すれば、かなり高い一致と言える。

今後は、ひまわりのIR等と併用することにより、さらに高い精度の広域降雨量推定法を検討していきたい。



(a) Freezing Level 3km



(b) Freezing Level 4km

図4. MOS-1 MSRデータによる推定降雨分布図

5. 参考文献

- 1) Thomas C. Willheit, Alfred T. C. Chang, M. S. V. Rao, E. B. Rogers, and J. S. Theon, 1977: A satellite technique for quantitatively mapping rainfall rates over the oceans, *J. Appl. Meteor.*, 16, 551-560.
- 2) 尾島武之「水蒸気のマイクロ波による宇宙からの計測」水文・水資源学会、企画・事業委員会、pp73-87、1990年5月